

Численное вычисление многопетлевых интегралов с применением преобразования Меллина-Барнса

Пикельнер Андрей

Московский Государственный Университет
Физический Факультет

20 декабря 2011 г.

- 1 Введение
- 2 Пакет RoMB
- 3 Заключение

Примеры петлевых вычислений

Поправки

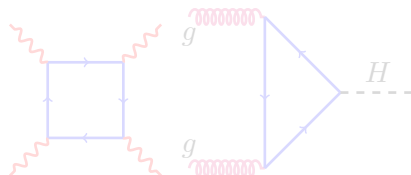
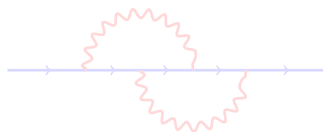
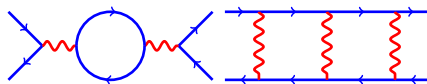
- NLO
- NNLO

Ренормгрупповой анализ

- SUSY
- ГНР

Нет древесного процесса

- $\gamma\gamma \rightarrow \gamma\gamma$
- $gg \rightarrow H$



Примеры петлевых вычислений

Поправки

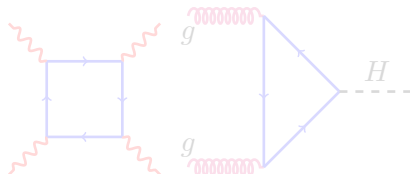
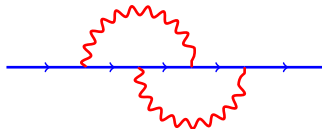
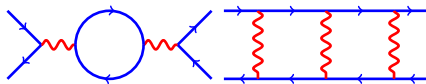
- NLO
- NNLO

Ренормгрупповой анализ

- SUSY
- ГНР

Нет древесного процесса

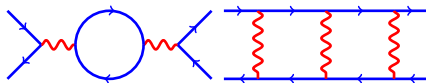
- $\gamma\gamma \rightarrow \gamma\gamma$
- $gg \rightarrow H$



Примеры петлевых вычислений

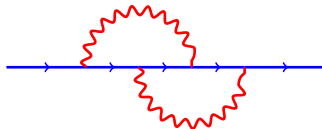
Поправки

- NLO
- NNLO



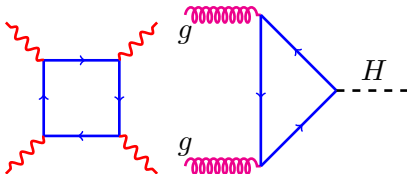
Ренормгрупповой анализ

- SUSY
- ГНР

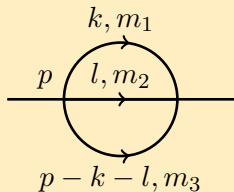


Нет древесного процесса

- $\gamma\gamma \rightarrow \gamma\gamma$
- $gg \rightarrow H$



Петлевые интегралы



$$= \int \frac{d^D k d^D l}{(k^2 - m_1^2)(l^2 - m_2^2)((p - k - l)^2 - m_3^2)}$$

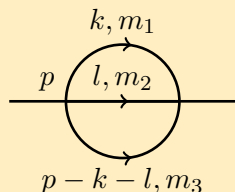
- Интегралы расходятся

$$\lim_{\substack{k \rightarrow \infty, l \rightarrow \infty \\ D \rightarrow 4}} I \sim \int \frac{d^4 k d^4 l}{k^4 l^2}$$

- Рост числа диаграмм, необходима автоматизация
- Размерная регуляризация, расходимости - полюса по ϵ

$$D = 4 - 2\epsilon$$

Петлевые интегралы



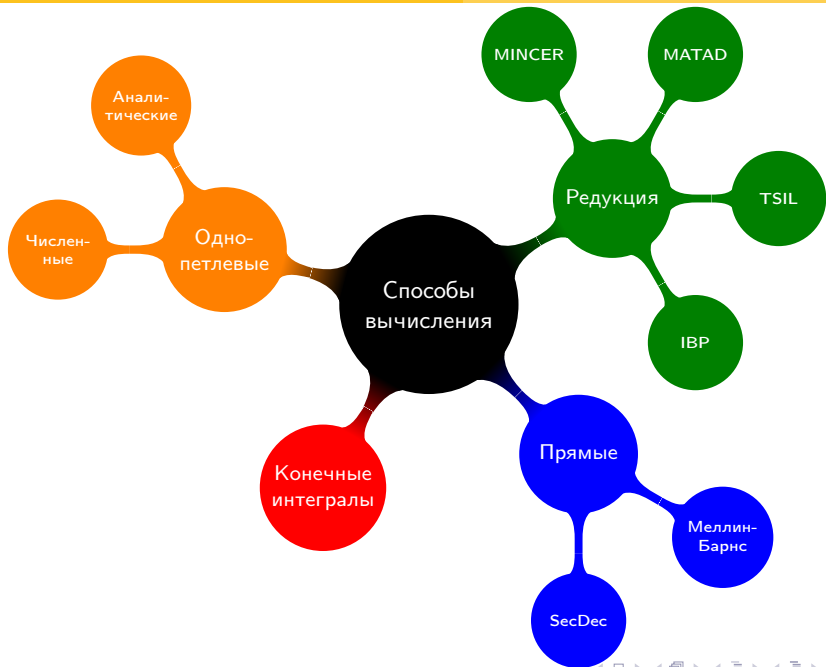
$$= \int \frac{d^D k d^D l}{(k^2 - m_1^2)(l^2 - m_2^2)((p - k - l)^2 - m_3^2)}$$

- Интегралы расходятся

$$\lim_{\substack{k \rightarrow \infty, l \rightarrow \infty \\ D \rightarrow 4}} I \sim \int \frac{d^4 k d^4 l}{k^4 l^2}$$

- Рост числа диаграмм, необходима автоматизация
- Размерная регуляризация, расходимости - полюса по ϵ

$$D = 4 - 2\epsilon$$



Постановка задачи

Создание пакета:

- 1 Численного вычисления интегралов
- 2 Не требующего участия пользователя
- 3 Не зависящего от коммерческого ПО
- 4 Легко встраиваемого в другие программы

Способного вычислять интегралы:

- 1 С различным числом петель
- 2 Несколькими масштабами масс
- 3 Произвольным числом внешних линий

Вычисляемый скалярный интеграл в размерной регуляризации:

$$I = \int \prod_{r=1}^L d^D k_r \prod_{j=1}^n \frac{1}{P_j^{\nu_j}}$$

Фейнмановская параметризация:

$$I = \frac{\Gamma(\nu - LD/2)}{\prod_{j=1}^n \Gamma(\nu_j)} \int d^n x \cdot \delta \left(1 - \sum_{i=1}^n x_i \right) \frac{\mathcal{U}^{\nu - (L+1)D/2}}{\mathcal{F}^{\nu - LD/2}}$$

Расходимости - нули \mathcal{F} -полинома.

Преобразование Меллина-Барнса

$$\frac{1}{(A_1 + A_2 + \dots + A_m)^\alpha} = \frac{1}{(2\pi i)^{m-1}} \int_{c-i\infty}^{c+i\infty} d\omega_1 \dots d\omega_{m-1} A_1^{\omega_1} \dots A_{m-1}^{\omega_{m-1}} A_m^{-\alpha - \omega_1 - \dots - \omega_{m-1}} \times \frac{\Gamma(-\omega_1) \dots \Gamma(-\omega_{m-1}) \Gamma(\alpha + \omega_1 + \dots + \omega_{m-1})}{\Gamma(\alpha)}$$

- Переводит сумму из знаменателя в произведение
- Изменение порядка интегрирования и преобразование возможны при

$$\Gamma(F_i) : \Re(F_i) > 0$$

- Интегрирование по фейнмановским параметрам

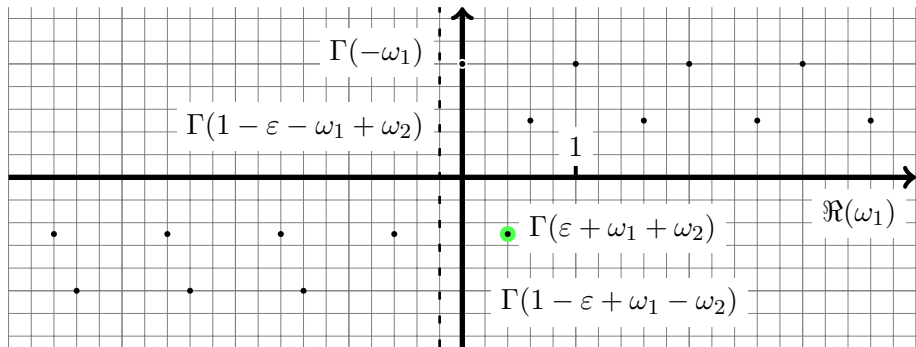
Выбор контуров

- 1 Контур интегрирования параллельны мнимой оси
- 2 Ищутся из условия $\Gamma(F_i) : \Re(F_i) > 0$
- 3 Аналогично условию разделения серий полюсов

Пример системы для поиска контуров

$$\begin{aligned}
 \omega_1 &< 0 & \omega_1 &= -0.45 \\
 \omega_2 &< 0 & & \\
 \epsilon + \omega_1 + \omega_2 &> 0 & \omega_2 &= -0.08 \\
 1 - \epsilon + \omega_1 - \omega_2 &> 0 & & \\
 1 - \epsilon - \omega_1 + \omega_2 &> 0 & \epsilon &= 0.68
 \end{aligned} \tag{1}$$

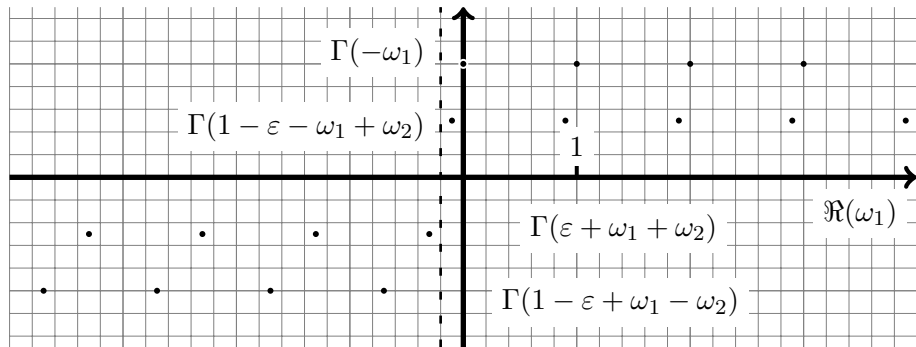
Серии полюсов



$$\omega_2 = -0.4, \varepsilon = 0$$

Серии полюсов не разделены

Серии полюсов



$$\omega_2 = -0.4, \varepsilon = 0.7$$

Необходимо аналитическое продолжение

Вычисление контурных интегралов

- 1 $\varepsilon \neq 0$, аналитическое продолжение к $\varepsilon = 0$
- 2 Движение контуров, взятие вычетов
- 3 Объединение интегралов с одинаковыми контурами
- 4 Сдвиг контуров не пересекая полюсов, для минимизации подынтегрального выражения.
- 5 Разложение вблизи $\varepsilon = 0$
- 6 Численное интегрирование

Теорема Коши

$$I(\varepsilon_1, w) = 2\pi i \sum_{\text{all poles in contour}} \text{Res} [I(\varepsilon_1, w)] = I(\varepsilon_2, w) - 2\pi i \cdot \text{Res}'$$

Заклучение

- Создан программный пакет для численного вычисления многопетлевых скалярных интегралов
- Написан на C++ с использованием библиотеки для аналитических вычислений GiNaC
- Вычислено множество диаграмм с различным числом петель, внешних линий и масштабов масс
- Впервые вычислены некоторые пятипетлевые массивные вакуумные интегралы, которые могут найти применение в вычислениях ренормгрупповых величин в $N=4$ SYM
- Пакет доступен по адресу <https://github.com/apik/RoMB>

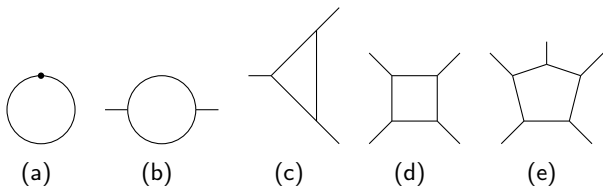


Рис.: Однопетлевые диаграммы реализованные в пакете PJfry

$$\begin{aligned}
 I[1(b)] \quad (1, 1, -1) = \\
 \text{RoMB:} \quad & -0.15205(4) + \varepsilon^{-1} \\
 \text{PJFry:} \quad & -0.152045 + \varepsilon^{-1}
 \end{aligned} \tag{2}$$

$$\begin{aligned}
 I[1(b)] \quad (2, 3, -6) = \\
 \text{RoMB:} \quad & -1.23941(3) + \varepsilon^{-1} \\
 \text{PJFry:} \quad & -1.2394 + \varepsilon^{-1}
 \end{aligned} \tag{3}$$

$$I[1(d)] \quad (m_i^2 = 0, p_i^2 = 0, s = -5, t = -1) =$$

$$\text{RoMB:} \quad \frac{4}{5}\varepsilon^{-2} - \frac{2}{5}\log(5)\varepsilon^{-1} - \frac{\pi^2}{3}\varepsilon^0$$

$$\text{PJFry:} \quad 0.8\varepsilon^{-2} - 0.643775\varepsilon^{-1} - 3.28987\varepsilon^0$$

$$I[1(d)] \quad (m_i^2 = 1, p_i^2 = 0, s = -3, t = -1) =$$

$$\text{RoMB:} \quad 0.11892(1) \quad (4)$$

$$\text{PJFry:} \quad 0.118926$$

$$I[1(e)] \quad (m_i^2 = 0, p_i^2 = 0, -2, -3, -4, -5, -6) =$$

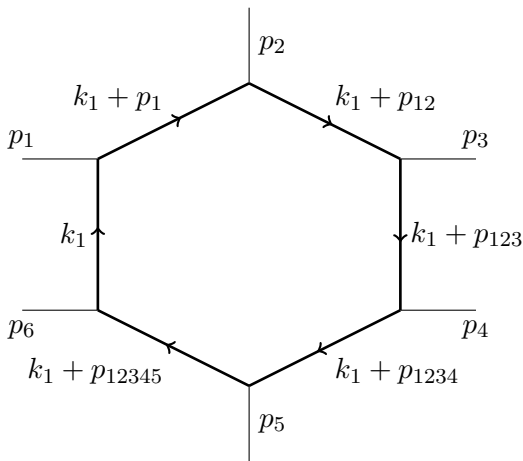
$$\text{RoMB:} \quad -0.23411263(2) - 0.08564212 \varepsilon^{-1} + \frac{1}{9} \varepsilon^{-2} \quad (5)$$

$$\text{PJFry:} \quad -0.234113 - 0.0856421 \varepsilon^{-1} + 0.111111 \varepsilon^{-2}$$

$$I[1(e)] \quad (m_i^2 = 1, p_i^2 = 0, -2, -3, -4, -5, -6) =$$

$$\text{RoMB:} \quad 0.0198(2) \quad (6)$$

$$\text{PJFry:} \quad 0.0199751$$



$$I[15] \quad (-1, -2, -3, -4, -5, -6, -7, -8, -9) =$$

$$\mathbf{RoMB:} \quad \frac{43}{1008} \varepsilon^{-2} + 0.0321771(2) \varepsilon^{-1} + 0.000198(9) \quad (7)$$

$$\mathbf{AMBRE:} \quad 0.0426587 \varepsilon^{-2} + 0.0321771 \varepsilon^{-1} + 0.000196672$$

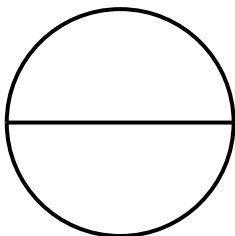
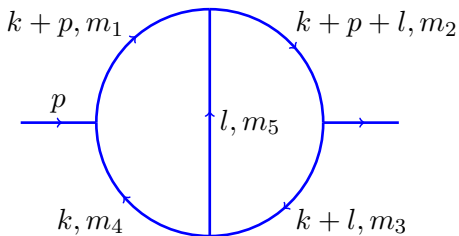


Рис.: Двух-петлевая массивная вакуумная диаграмма

$$I[2] \quad (1, 1, 1) =$$

$$\text{RoMB:} \quad -\frac{3}{2} \varepsilon^{-2} - \frac{9}{2} \varepsilon^{-1} - 6.98413(6) \quad (8)$$

$$[?]eq.197: \quad -1.5 \varepsilon^{-2} - 4.5 \varepsilon^{-1} - 6.984139141966$$



$$I[17] \quad (m_i^2 = 0, -1) =$$

RoMB: 7.2121(7) + 24.165(2) ε (9)

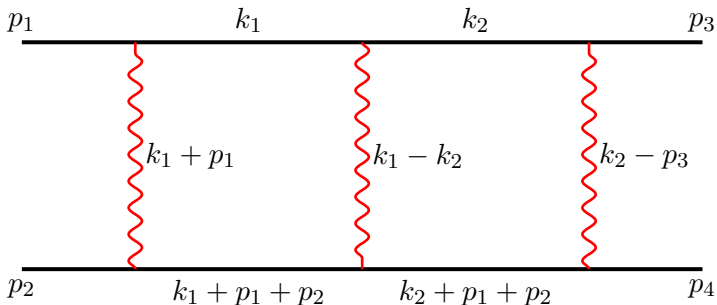
MINCER: 7.21234 + 24.1656 ε

TSIL: 7.2123414189575659

$$I[17] \quad (1, 0, 1, 0, 1, -1) =$$

RoMB: 1.329(7) (10)

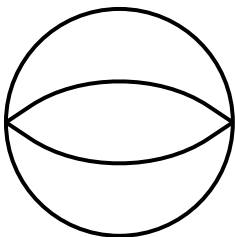
TSIL: 1.3317114414375444



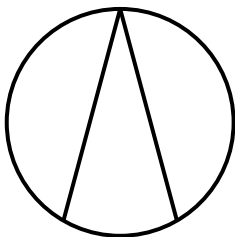
$$I[18] \quad (m_i^2 = p_i^2 = 1, s = -2, t = -3) =$$

$$\mathbf{RoMB:} \quad 0.096354(9) \varepsilon^{-2} - 0.10639(6) \varepsilon^{-1} - 1.130(2) \quad (11)$$

$$\mathbf{AMBRE:} \quad 0.09635(1) \varepsilon^{-2} - 0.10646(3) \varepsilon^{-1}$$



(a)



(b)



(c)

Рис.: Трех-петлевые массивные вакуумные диаграммы

$$I[3(a)] =$$

$$\text{RoMB: } 2 \varepsilon^{-3} + \frac{23}{3} \varepsilon^{-2} + \frac{35}{2} \varepsilon^{-1} + 22.9167(2) \quad (12)$$

$$[\text{?}]\text{eq.198: } 2 \varepsilon^{-3} + 7.6666 \varepsilon^{-2} + 17.5 \varepsilon^{-1} + 22.916666$$

$$I[3(b)] =$$

$$\text{RoMB: } -\varepsilon^{-3} - 5.66666(7) \varepsilon^{-2} - 15.297(4) \varepsilon^{-1} - 46.06(13)$$

$$[\text{?}] \text{eq.199: } -\varepsilon^{-3} - 5.666666 \varepsilon^{-2} - 15.3016 \varepsilon^{-1} - 46.075$$

$$I[3(c)] =$$

$$\text{RoMB: } 2.397(9) \varepsilon^{-1} - 10.2(8) \quad (14)$$

$$[\text{?}] \text{eq.200: } 2.40411 \varepsilon^{-1} - 10.03527$$

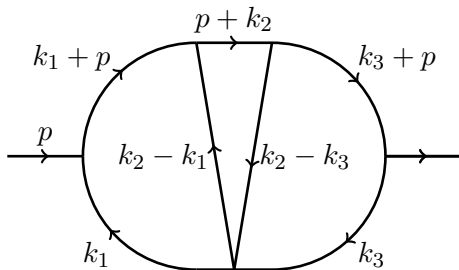


Рис.: Диаграмма FA пакета MINCER

$$\begin{aligned}
 I[4] \quad (m_i^2 = 0, p^2 = -1) = \\
 \text{RoMB:} \quad -20.69(9) \\
 \text{MINCER:} \quad -20.7386
 \end{aligned}
 \tag{15}$$

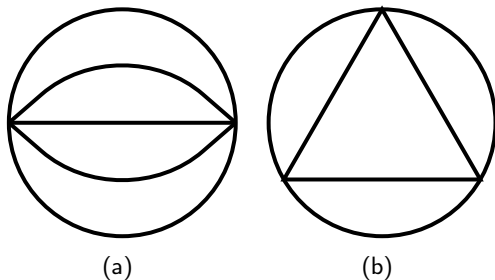


Рис.: Четырех-петлевые массивные вакуумные диаграммы

$$\begin{aligned}
 I[5(a)] &= \\
 \text{RoMB: } & -\frac{5}{2} \varepsilon^{-4} - \frac{35}{3} \varepsilon^{-3} - \frac{4565}{144} \varepsilon^{-2} \\
 & -67.52893(3) \varepsilon^{-1} - 140.22(1) \\
 \text{[?]eq.1: } & -2.5 \varepsilon^{-4} - 11.6666 \varepsilon^{-3} - 31.70138 \varepsilon^{-2} \\
 & -67.5289351 \varepsilon^{-1} - 140.220543
 \end{aligned} \tag{16}$$

$I[5(b)] =$

RoMB: $1.5 \varepsilon^{-4} + 9.5 \varepsilon^{-3} + 33.5 \varepsilon^{-2}$
 $+ 59.8938(3) \varepsilon^{-1} - 6.7709(8)$ (17)

[?]eq.4: $1.5 \varepsilon^{-4} + 9.5 \varepsilon^{-3} + 33.5 \varepsilon^{-2}$
 $+ 59.8938292905 \varepsilon^{-1} - 6.7709349452$

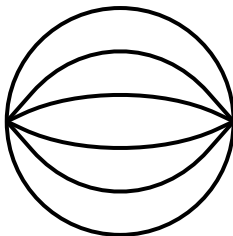
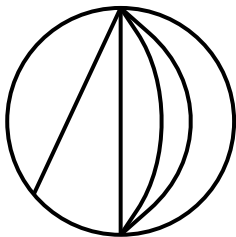


Рис.: Пяти-петлевая массивная вакуумная диаграмма

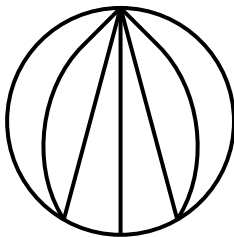
$I[6] =$

$$\text{RoMB: } 3 \varepsilon^{-5} + \frac{33}{2} \varepsilon^{-4} + \frac{1247}{24} \varepsilon^{-3} + 125.67152(5) \varepsilon^{-2} \\ + 259.98755(1) \varepsilon^{-1} - 347.36(4) \quad (18)$$

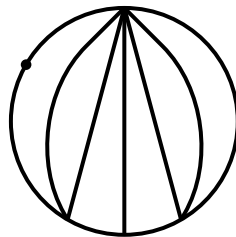
$$[?] \text{eq.41: } 3 \varepsilon^{-5} + 16.5 \varepsilon^{-4} + 51.95833 \varepsilon^{-3} + 125.6715 \varepsilon^{-2} \\ + 259.9876 \varepsilon^{-1} - 347.3551$$



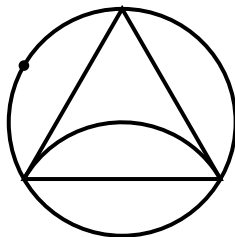
(a)



(b)



(c)



(d)

Рис.: Пяти-петлевые массивные вакуумные диаграммы со вставкой вершин

$$I[7(b)] = -\frac{12}{5} \varepsilon^{-5} - \frac{337}{20} \varepsilon^{-4} - \frac{2593}{40} \varepsilon^{-3} - 155.9751(4) \varepsilon^{-2} \\ - 1374.863(1) \varepsilon^{-1} - 4922.0(7)$$

$$I[7(c)] = \frac{5}{4} \varepsilon^{-5} + \frac{389}{60} \varepsilon^{-4} + \frac{743}{40} \varepsilon^{-3} + 53.7541(1) \varepsilon^{-2} \\ + 91.4489(3) \varepsilon^{-1} + 86872.2(1)$$

$$I[7(d)] = \frac{9}{10} \varepsilon^{-5} + 4.7894444442 \varepsilon^{-4} + 10.82314816 \varepsilon^{-3} + 24.4364(3) \\ - 3.51(2) \varepsilon^{-1}$$

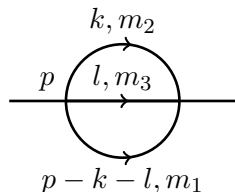
$$P_1 = k^2 - m_1^2, P_2 = (p + k)^2 - m_2^2, L = 1, \nu = 2$$

$$I = \int dk \frac{1}{P_1 P_2} = \Gamma(\epsilon) \int dx_1 dx_2 \cdot \delta(1 - x_1 - x_2) \cdot \frac{\mathcal{U}^{2\epsilon-2}}{\mathcal{F}^\epsilon}$$

$$M = -(x_1 + x_2), Q = x_2 p, J = x_1 m_1^2 + x_2 m_2^2 - x_2 p^2$$

$$\mathcal{U} = -(x_1 + x_2), \quad \mathcal{F} = x_1^2 \cdot m_1^2 + x_2^2 \cdot m_2^2 + x_1 x_2 \cdot (m_1^2 + m_2^2 - p^2)$$

Loop-by-loop approach



$$I = \int \frac{dl}{l^2 - m_3^2} \int \frac{dk}{[(p - k - l)^2 - m_1^2] [k^2 - m_2^2]}$$

$$\mathcal{F}_k = x_0 x_1 (-p^2 + m_2^2 - l^2 + m_1^2 + 2 \cdot (l \cdot p)) + m_2^2 x_0^2 + m_1^2 x_1^2$$

$$I = \int d\omega_1 d\omega_2 \cdot f(\omega_1, \omega_2) \int \frac{dl}{[l^2 - m_3^2] [(p - l)^2 - m_1^2 - m_2^2]^{\epsilon + \omega_1 + \omega_2}}$$